

# МОДЕЛИРОВАНИЕ ЯВЛЕНИЙ ЭЛЕКТРОННОГО ПЕРЕНОСА В МЕХАНИЧЕСКИ НАПРЯЖЕННЫХ ПОЛУПРОВОДНИКОВЫХ МИКРОКРИСТАЛЛАХ

В. В. Филиппов<sup>1</sup>, Б. К. Петров<sup>2</sup>

<sup>1</sup>Липецкий государственный педагогический университет

<sup>2</sup>Воронежский государственный университет

Рассмотрены эффекты, связанные с механическими напряжениями в полупроводниковых кристаллах и пленках. Выполнен качественный анализ эффекта изменения проводимости в растянутом кристаллическом кремнии. Получено и проанализировано распределение электрического поля в области анизотропного полупроводникового канала.

## ВВЕДЕНИЕ

В современной электронике все большее применение находят полупроводники и полупроводниковые соединения, в кристаллах которых из-за сложности строения решеток, под давлением или под влиянием внешних полей наблюдается анизотропия электрических, термоэлектрических и гальваномагнитных свойств, в частности, большие перспективы имеют структуры на основе механически напряженных кремния и германия, а также их соединений [1, 2]. Как показывает обзор литературы, в данное время отсутствует подробно описанная теоретическая картина пьезосопротивления в растянутом нанокристаллическом кремнии.

Для проверки применимости теории линейного эффекта пьезопроводимости, необходимо определить долю поверхностной энергии в общей энергии кристалла, а также проверить квадратичность зависимости потенциальной энергии межатомного взаимодействия от величины деформации.

Согласно выполненным нами расчетам на основе экспериментальной зависимости межатомного потенциала Ми—Леннарда—Джонса [3], для кристаллического кремния при деформациях  $\varepsilon \leq 2\%$  отклонение от нелинейности законов механических деформаций не превосходит 5%. Изменение зонной структуры от механических напряжений описывается в теории деформации полупроводниковых кристаллов [4, 5]. Численные соотношения указанных работ оказываются справедливы и для нанокристаллов толщин порядка десятков нанометров, когда доля энергии поверхностных атомов кристалла относительно общей энергии

невелика. Так, для кристалла толщиной  $\sim 50$  нм доля атомов на поверхности порядка 1% относительно общего числа атомов кристалла и, соответственно, вкладом поверхностной энергии в общую энергию кристалла можно пренебречь [6, 7].

Таким образом, для кристаллического кремния величина относительного изменения ширины запрещенной зоны в зависимости от механического напряжения для наноструктур порядка 50 нм и более изменяется по тем же законам, что и для объемных кристаллов. Отклонение от нелинейности закона Гука упругих деформаций и эффекта пьезосопротивления не превышает 5% при относительных деформациях не более 2% и, как правило, лежит в пределах погрешности измерений. Одной из основных задач здесь является четкое определение деформаций и напряжений в используемом кристалле.

В данной работе рассмотрено влияние деформации кристаллического полупроводникового кремния на его кинетические параметры, а также выполнен расчет распределения электрического поля в механически напряженном полупроводниковом кристалле.

## 1. РАСЧЕТ КОМПОНЕНТ ТЕНЗОРА ЭЛЕКТРОПРОВОДНОСТИ НАПРЯЖЕННОГО КРЕМНИЯ

В настоящее время наиболее распространен метод получения напряженного (растянутого) кремния на подложке кристалла  $\text{Si}_{1-x}\text{Ge}_x$  [1, 2]. В кремнии возникают деформации в плоскости, параллельной поверхности подложки, величина которых будет варьироваться в пределах  $0 \div 5\%$  в зависимости от соотношения компонентов сплава  $\text{Si}_{1-x}\text{Ge}_x$  [5].

При малых деформациях (для  $n$ -Si  $\varepsilon \leq 2$ ) тензор напряжений определяется выражением [5]:

$$P_{ij} = c_{ijnk} \varepsilon_{nk}, \quad (1)$$

где  $c_{ijnk}$  и  $\varepsilon_{ij}$  — компоненты тензора жесткости и деформации соответственно, а относительное изменение электропроводности выражается через коэффициенты эластосопротивления (пьезосопротивления)  $\pi_{ijnk}$  [4]:

$$\Delta\sigma_{ij} / \sigma_0 = -\pi_{ijnk} P_{nk}. \quad (2)$$

Для случая если кремний растянут только в направлениях [100], [010], а кристаллические плоскости подложки и кристалла совпадают, тензор деформаций имеет вид:

$$\hat{\varepsilon} = \begin{pmatrix} \varepsilon & 0 & 0 \\ 0 & \varepsilon & 0 \\ 0 & 0 & 0 \end{pmatrix}. \quad (3)$$

В общем случае ориентации подложки и растянутого кристалла кремния методика вычисления тензора деформаций  $\hat{\varepsilon}$  описана в работе [8].

С учетом симметрии кубических кристаллов, для  $n$ -Si зависимость механического напряжения и относительного изменения электропроводности вдоль плоскости подложки от величины деформации можно представить в виде:

$$\begin{aligned} P_{11} = P_{22} = c_{11}\varepsilon, \\ \Delta\sigma_{11} / \sigma_0 = \Delta\sigma_{22} / \sigma_0 = -\pi_{11}c_{11}\varepsilon. \end{aligned} \quad (4)$$

На рис. 1 представлена рассчитанная нами зависимость электропроводности кристаллического  $n$ -Si от относительного удлинения (данные для  $c_{11}, \pi_{11}$  взяты из работ [4, 5])

## 2. РАСЧЕТ ПОТЕНЦИАЛА В МЕХАНИЧЕСКИ НАПРЯЖЕННЫХ ПОЛУПРОВОДНИКАХ

Изменение электропроводности кристалла вдоль какого-либо из направлений не может не

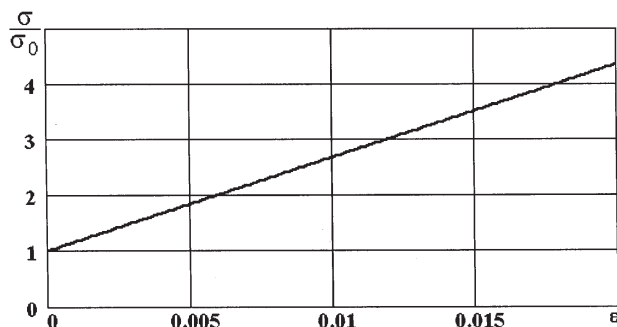


Рис. 1

сказаться на распределении электрического поля в приборах, в которых применяется данный полупроводник.

Определим распределение потенциала электрического поля, создаваемое двумя токовыми электродами на противоположных гранях в анизотропном полупроводниковом кристалле (рис. 2). В рассматриваемом случае полупроводниковый образец деформирован в плоскости  $xy$ . На рис. 2 указано пространственное расположение токового канала напряженного кремния и расположение контактов на его поверхности. Решетка растянута в направлениях [100] и [010].

В установившемся режиме электрического тока плотность тока  $\vec{j}$ , напряженность электрического поля  $\vec{E}$  и потенциал  $\varphi$  связаны соотношениями [9]:

$$\vec{j} = \hat{\sigma} \cdot \vec{E}, \quad \vec{E} = \text{grad } \varphi, \quad \text{div } \vec{j} = 0, \quad (5)$$

где  $\hat{\sigma}$  — симметричный тензор электропроводимости кристалла. В нашем случае система координат выбрана так, что тензор  $\hat{\sigma}$  имеет диагональный вид

$$\hat{\sigma} = \begin{pmatrix} \sigma_x & 0 & 0 \\ 0 & \sigma_y & 0 \\ 0 & 0 & \sigma_z \end{pmatrix} = \begin{pmatrix} \sigma_0 + \Delta\sigma & 0 & 0 \\ 0 & \sigma_0 + \Delta\sigma & 0 \\ 0 & 0 & \sigma_0 \end{pmatrix}. \quad (6)$$

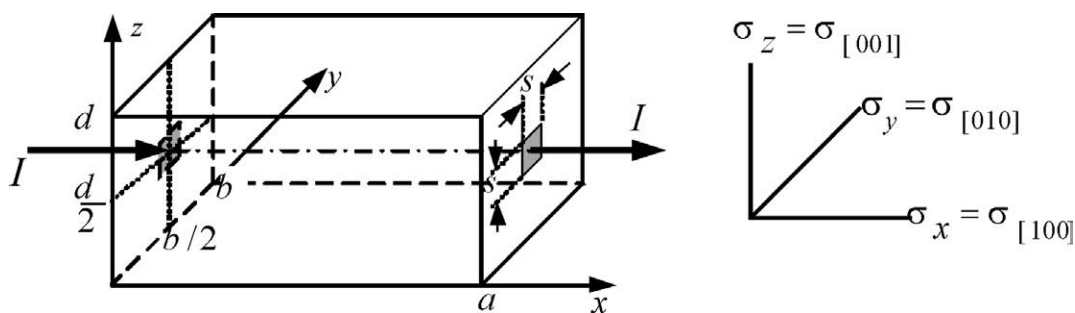


Рис. 2

Отсюда имеем дифференциальное уравнение для потенциала

$$\sigma_x \frac{\partial^2 \varphi}{\partial x^2} + \sigma_y \frac{\partial^2 \varphi}{\partial y^2} + \sigma_z \frac{\partial^2 \varphi}{\partial z^2} = 0. \quad (7)$$

Граничные условия для потенциала следуют из требования, что нормальная составляющая плотности тока на поверхности образца всюду равна нулю, кроме точек под токовыми электродами [9]:

$$\begin{aligned} -\sigma_y \frac{\partial \varphi}{\partial y} \Big|_{y=0,b} &= -\sigma_z \frac{\partial \varphi}{\partial z} \Big|_{z=0,d} = 0, \quad (8) \\ -\sigma_x \frac{\partial \varphi}{\partial x} \Big|_{x=0,a} &= \begin{cases} \frac{I}{s^2}, y \in [b/2 - s/2; b/2 + s/2], \\ z \in [d/2 - s/2; d/2 + s/2], \\ 0, \text{ в остальной площади} \end{cases} \end{aligned} \quad (9)$$

где  $a, b, d, s$  — геометрические параметры растянутого полупроводникового канала и токовых электродов (рис. 2).

Краевая задача (7) — (9) решается методом Фурье разделения переменных. В данном случае выражение для потенциала  $\varphi(x, y, z)$  представимо в виде двойного ряда Фурье по косинусам:

$$\begin{aligned} \varphi(x, y, z) &= \sum_{n,k=0}^{\infty} X_{nk}(x) \cos(\alpha_n y) \cdot \cos(\beta_k z), \quad (10) \\ \alpha_n &= \frac{\pi \cdot n}{b}, \quad \beta_k = \frac{\pi \cdot k}{d}. \end{aligned}$$

Подставляя ряд в уравнение (10) и учитывая граничные условия (8), (9) получаем выражение для  $X_{nk}(x)$ .

Опуская громоздкие математические преобразования, запишем выражение для распределения потенциала в объеме анизотропного полупроводникового канала в окончательном виде:

$$\begin{aligned} \varphi(x, y, z) &= -\frac{I}{\sigma_x b d} \left( x - \frac{a}{2} \right) - \frac{16 \cdot I}{\sigma_x b d} \times \\ &\times \sum_{n,k=0,2,4,\dots}^{\infty} \left\{ \Theta_{n,k} \frac{(-1)^{(n+k)/2}}{\eta_{nk} \operatorname{sh}(\eta_{nk} a)} [ch(\eta_{nk} x) - \right. \\ (11) \quad &\left. - ch(\eta_{nk}(a-x))] \cdot \frac{\sin(\alpha_n s/2)}{\alpha_n s} \cdot \frac{\sin(\beta_k s/2)}{\beta_k s} \times \right. \\ &\left. \times \cos(\alpha_n y) \cdot \cos(\beta_k z) \right\}, \end{aligned}$$

$$\begin{aligned} \alpha_n &= \frac{\pi \cdot n}{b}, \quad \beta_k = \frac{\pi \cdot k}{d}, \quad \eta_{nk} = \sqrt{\gamma_1 \alpha_n^2 + \gamma_2 \beta_k^2}, \\ \gamma_1 &= \frac{\sigma_y}{\sigma_x}, \quad \gamma_2 = \frac{\sigma_z}{\sigma_x}, \quad (12) \end{aligned}$$

$$\Theta_{n,k} = \begin{cases} 1, n, k \neq 0; \\ 1/2, n, k = 0, n \neq k; \\ 0, n = k = 0. \end{cases}$$

В соответствии с полученным распределением потенциала определено сопротивление анизотропного кристалла:

$$\begin{aligned} R &= \frac{a}{\sigma_x b d} + \frac{128}{\sigma_x b d} \cdot \sum_{n,k=0,2,4,\dots}^{\infty} \left\{ \Theta_{n,k} \frac{cth(\eta_{nk} a)}{\eta_{nk}} \times \right. \\ &\left. \times \left( \frac{\sin(\beta_k s/2)}{\beta_k s} \right)^2 \left( \frac{\sin(\alpha_n s/2)}{\alpha_n s} \right)^2 \right\}. \quad (13) \end{aligned}$$

Представленное аналитическое решение в виде (11) позволяет проанализировать распределение потенциала электрического поля в анизотропных полупроводниковых пленках, а также моделировать его с помощью ЭВМ. Построим распределение эквипотенциалов и линий тока в двух плоскостях  $z = d/2$  и  $y = b/2$  (в среднем сечении канала).

На рис. 3 изображены распределение электрического потенциала (пунктир) и электрического тока (сплошные линии) в анизотропном полупроводниковом кристалле ( $a/b = 1,5$ ;  $d/b = 1$ ;  $s/b = 0,1$ ;  $\sigma_x = \sigma_y = 4\sigma_z$ ). На данной модели между двумя токовыми линиями протекает равный ток —  $I/12$ , шаг построения эквипотенциалов —  $\Delta\varphi_k/20$ , где —  $I$  общий ток через полупроводник,  $\Delta\varphi_k$  — разность потенциалов на токовых контактах. Выбор параметра анизотропии  $\sigma_x/\sigma_z = \sigma_y/\sigma_z = 4$  вполне оправдан и соответствует известным литературным данным [3, 8].

### 3. ВЫВОДЫ И РЕЗУЛЬТАТЫ

Как показывает проведенное моделирование, электрический ток в растянутом  $n$ -Si протекает по более узкому каналу, чем в недеформированном состоянии. Данное распределение тока вдоль узких каналов в растянутых кремниевых каналах полупроводниковых структур приводит к следующим физическим эффектам:

1) концентрация носителей заряда становится неравномерной по объему кристалла — она максимальна вдоль токовых каналов небольшой ширины;

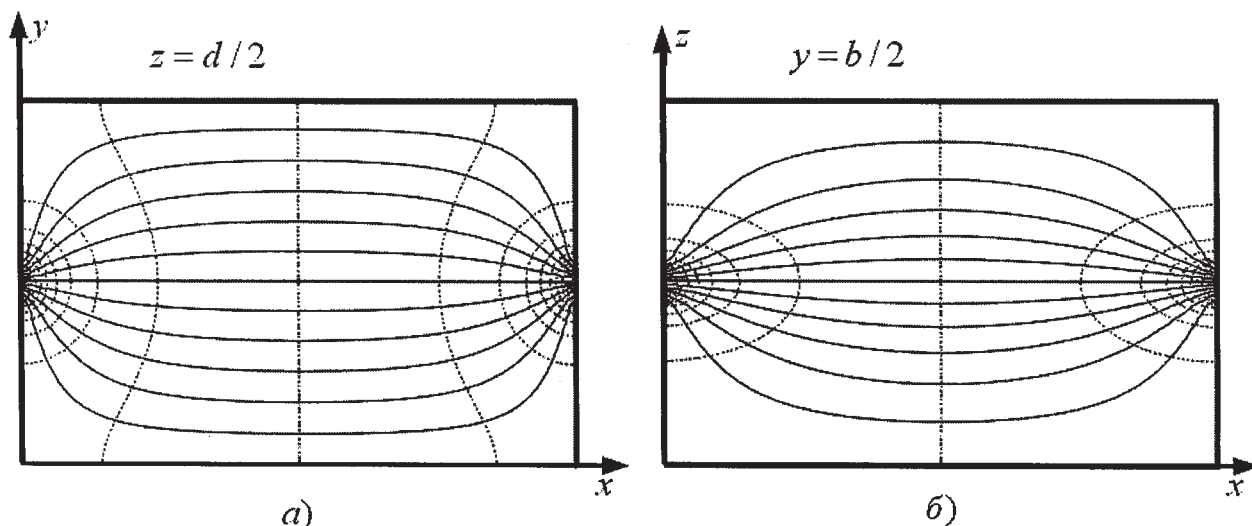


Рис. 3

2) неравномерный разогрев по объему полупроводника;

3) уменьшение тока утечки через границы полупроводник—диэлектрик в МДП структурах (т.к. плотность тока на границе растянутого  $n$ -Si меньше, чем для недеформированного полупроводника).

Подробное рассмотрение влияния анизотропии кристаллов на распределение электрического поля выполнено в работах [10, 11].

Как показывает выполненный анализ, использование растянутых  $n$ -Si каналов в МДП структурах не только позволяет увеличить их быстродействие, за счет миниатюризации и увеличения величины электропроводности, но и уменьшить ток утечки. Изменение сопротивления кристалла  $n$ -Si согласно выражению (13) зависит от параметров анизотропии нелинейно, следовательно, данную нелинейность необходимо учитывать и при определении изменения электропроводности в результате деформации канала. При этом, изменение величины электрического поля вблизи границ канала, а также изменение его сопротивления можно определить по представленным выражениям для потенциала и сопротивления.

Таким образом, результаты представленной работы позволяют количественно оценить концентрацию электрического тока и изменение сопротивления кремниевого канала электронного типа в результате его деформации. Выражения, полученные для распределения потенциала в токовом канале, являются электродинамическими по своему характеру, поэтому не зависят от рода вещества и могут быть применимы для различных типов анизотропных полупроводниковых кристаллов, используемых в

качестве структурных элементов различных полупроводниковых приборов.

## СПИСОК ЛИТЕРАТУРЫ

1. Грідчин В.А., Любимский В.М. Пьезосопротивление в пленках поликристаллического кремния  $p$ -типа // ФТП. — 2004. — Т. 38, № 8. — С. 1013—1017.
2. Валах М.Я., Джаган В.Н., Матвеева Л.А., Обермоко А.С., Романюк Б.Н., Юхимчук В.А. Исследования влияния углерода на свойства гетероструктур Si/SiGe // ФТП. — 2003. — Т. 37, № 4. — С. 460—464.
3. Магомедов М.Н. О природе ковалентной связи в кристаллах подгруппы углерода // Журнал неорг. химии. — 2004. — Т. 49, № 12. — С. 2057—2067.
4. Полякова А.Л. Деформация полупроводников и полупроводниковых приборов. — М.: Энергия, 1979. — 168 с.
5. Баранский П.И., Клочков В.П., Потыкевич И.В. Полупроводниковая электроника. Свойства материалов. — Киев: Наукова думка, 1975. — 704 с.
6. Магомедов М.Н. О поверхностной энергии нанокристалла // Журнал физ. химии. — 2005. — Т. 79, № 5. — С. 829—838.
7. Сиротин С.Ю., Шаскольская П.М. Основы кристаллофизики. — М.: Наука, 1979. — 639 с.
8. Драгунов В.П. Моделирование переноса носителей заряда в напряженных слоях на основе Ge и Si // Науч. вестн. НГТУ. — 2003. — № 2. — С. 71—84.
9. Ландау Л.Д., Лифшиц Е.М. Электродинамика сплошных сред. — М.: Наука, 1982. — 620 с.
10. Поляков Н.Н., Филиппов В.В. Особенности явлений электронного переноса в анизотропных монокристаллах и пленках // Электронный журнал «Исследовано в России». — 2003. — 046. С. 539—548. <http://zhurnal.ape.relarn.ru/articles/2003/046.pdf>
11. Поляков Н.Н., Шевченко А.Е., Олейников В.Е., Фролов П.В. Влияние анизотропии кристаллов на явления электронного переноса в полупроводниках // Известия вузов. Материалы электронной техники. — 2000. — № 4. — С. 63—68.